

3 - 11 関東地方の地殻変動

Crustal Movements in the Kanto District

国土地理院

Geographical Survey Institute

第1図は、1988年2月に実施した鴨川から勝浦験潮場を経て八日市場にいたる路線の上下変動である。なお、1986, 11～87, 1と1987, 11～12の勝浦験潮場～八日市場間のデータは、千葉県の観測によるものである。1987年12月17日千葉県東方沖地震の震源に最も近い一宮付近に約1cmの沈降が見られる。又、茂原付近に隆起域が現れている。

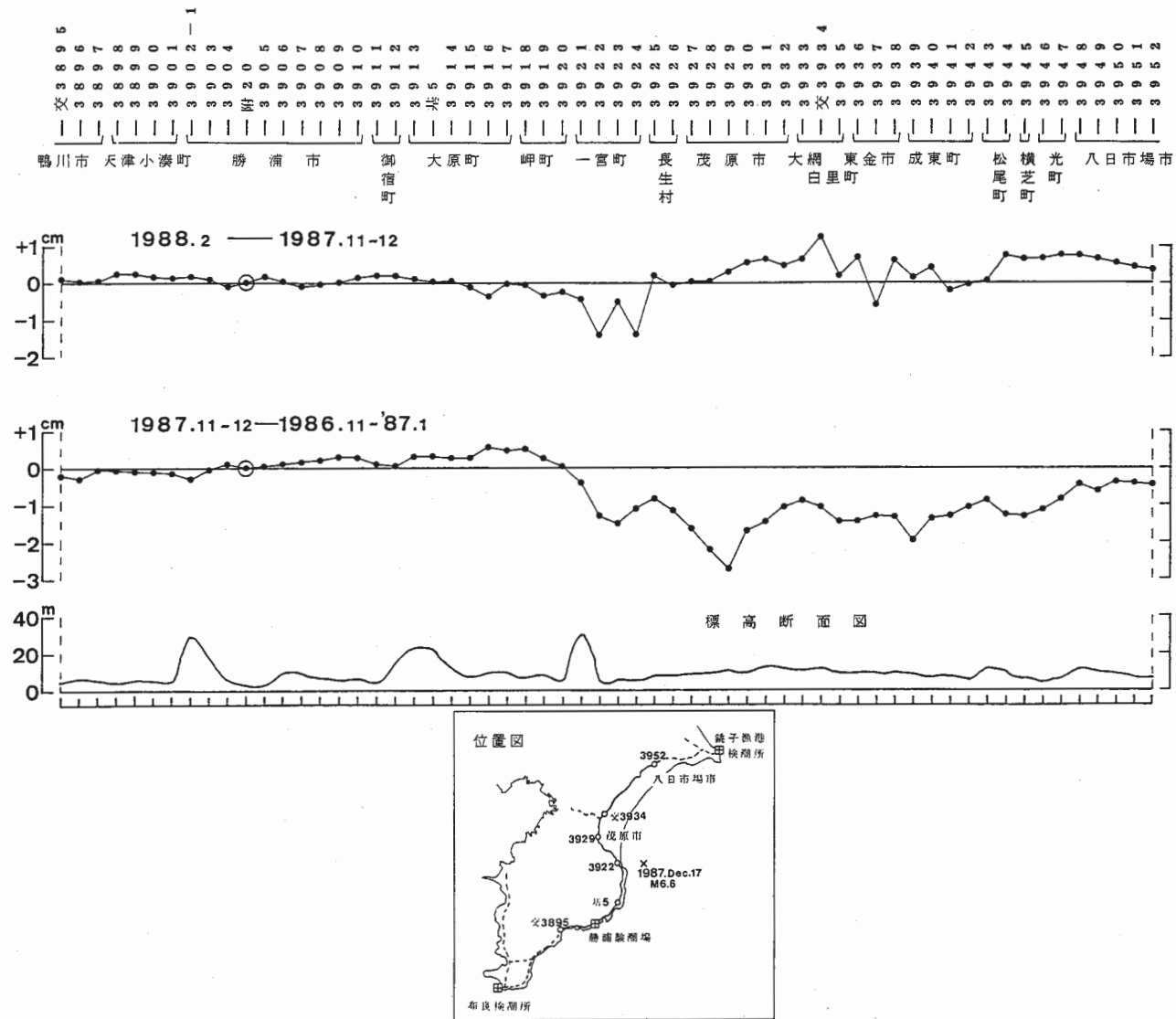
第2図は、三鷹菱形基線測量結果である。多少のばらつきはあるものの、平均的には南北縮みと東西伸びが卓越している。

第3, 4図は、日野及び鹿野山精密変歪測量結果である。共に、北北西－南南東の縮みが卓越している。

第5, 6図は、館山地殻活動観測場における歪観測結果である。1988年8月12日と9月26日の2個の千葉県東方沖地震による coseismic な変動が見られるほかには目だった変化は認められない。

参 考 文 献

- 1) 国土地理院：関東地方の地殻変動，連絡会報，**37**（1987），136 - 143.
- 2) 国土地理院：関東地方の地殻変動，連絡会報，**38**（1987），166 - 182.
- 3) 国土地理院：関東地方の地殻変動，連絡会報，**39**（1988），144 - 149.
- 4) 国土地理院：関東地方の地殻変動，連絡会報，**40**（1988），188 - 132.



第1図 鴨川～勝浦～八日市場間の上下変動

Fig. 1 Level changes along the route from Kamogawa to Yokaichiba via Katsuura.

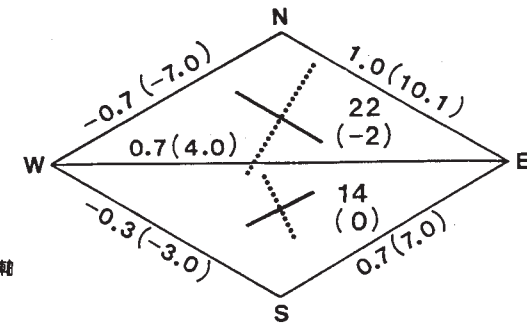
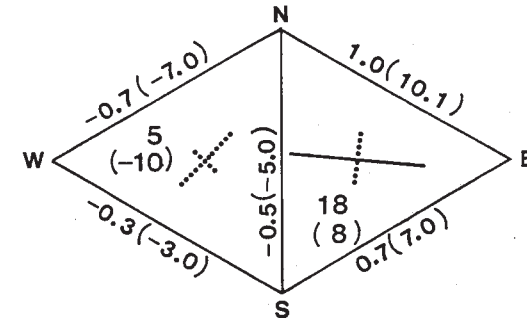
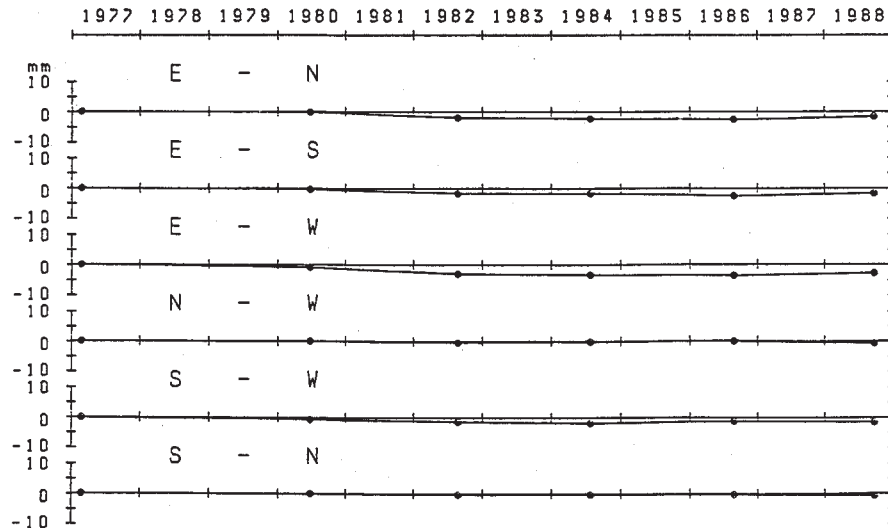
1988.9 — 1986.8

| 測定年 区間 | 1 | 2 | 3 | 4 | 5 | 6 | 6-1 | 6-2 | 6-3 | 6-4 | 6-5 |
|-----------|----------|-------|-------|-------|-------|-------|------------|------------|-----------|-----------|-----------|
| E - N | 100.0004 | .0002 | .9985 | .9982 | .9978 | .9988 | mm -1.6 | mm -1.4 | mm 0.3 | mm 0.6 | mm 1.0 |
| E - S | 100.0017 | .0013 | .0000 | .0000 | .9993 | .0000 | -1.7 | -1.3 | 0.0 | 0.0 | 0.7 |
| E - W | 173.2059 | .2051 | .2030 | .2026 | .2024 | .2031 | -2.8 | -2.0 | 0.1 | 0.5 | 0.7 |
| N - W | 100.0008 | .0008 | .0003 | .0006 | .0007 | .0000 | -0.8 | -0.8 | -0.3 | -0.6 | -0.7 |
| S - W | 100.0004 | .9998 | .9990 | .9985 | .9991 | .9988 | -1.6 | -1.0 | -0.2 | 0.3 | -0.3 |
| S - N | 100.0018 | .0018 | .0016 | .0016 | .0016 | .0011 | -0.7 | -0.7 | -0.5 | -0.5 | -0.5 |

※ 数値は平均計算結果（水平距離）
'82.8 は7,8月の平均値

測器：メコメーター ME3000

辺長の経年変化



5×10^{-6} 伸び } 主軸
 5×10^{-6} 縮み }

数値 最大せん断歪 10^{-6}

() 面積変化率 10^{-6}

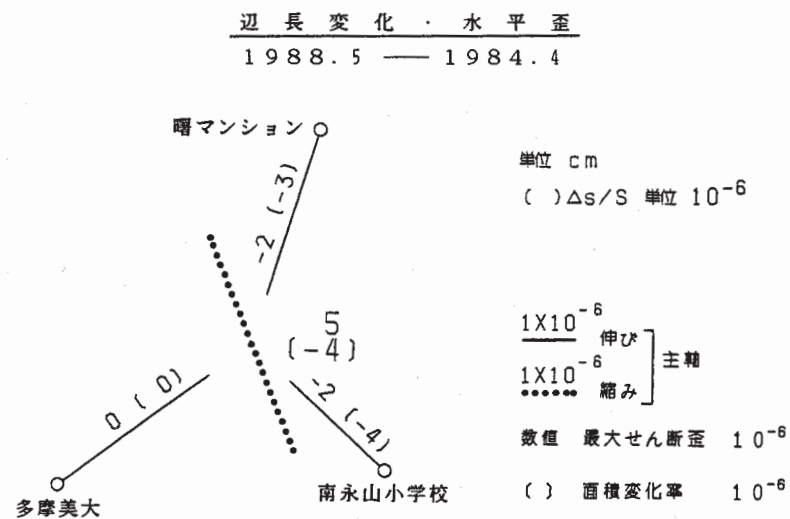
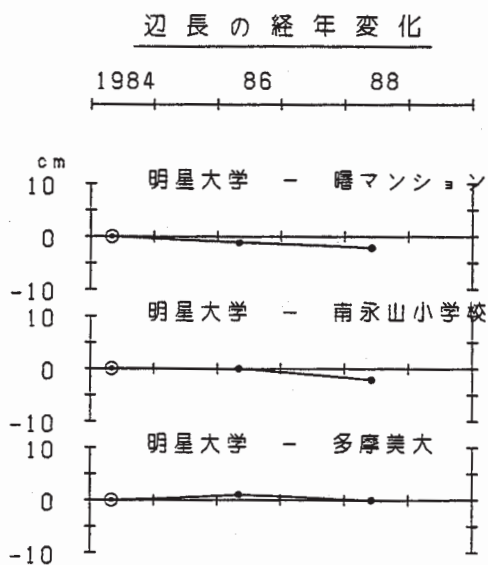
単位 mm

() $\Delta S/S$ 単位 10^{-6}

第2図 三鷹菱形基線測量結果

Fig. 2 Results of precise distance measurements in the Mitaka rhombus baselines.

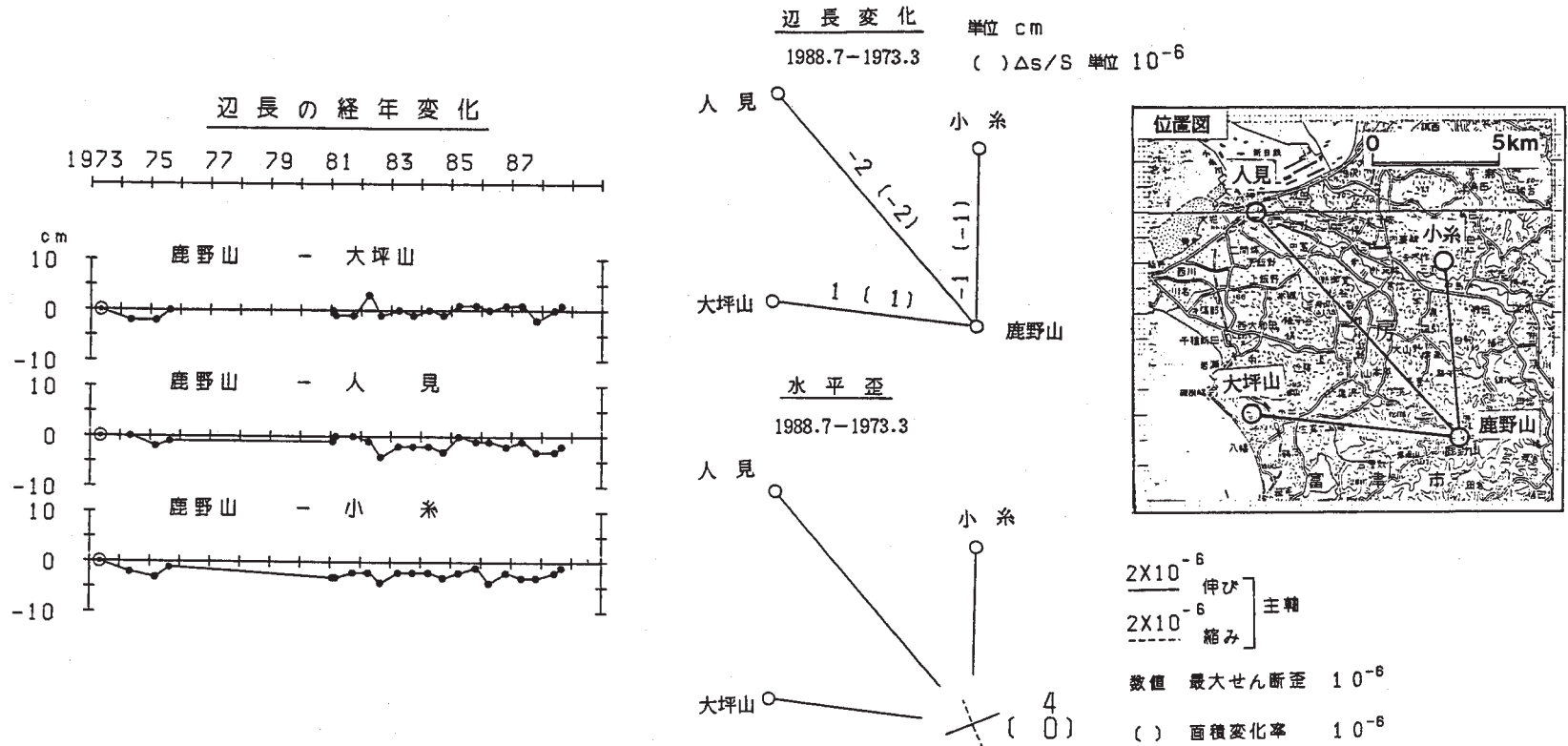
| 区 間 | 測 定 年 | | |
|---------------|----------------------|------------------|------------------|
| | 1984.04 | 86.04 | 88.05 |
| 明星大学 — 曙マンション | 6120.87 ^m | .86 ^m | .85 ^m |
| 明星大学 — 南永山小学校 | 4966.42 | .42 | .40 |
| 明星大学 — 多摩美大 | 6496.30 | .31 | .30 |



第3図 日野精密変歪測量結果

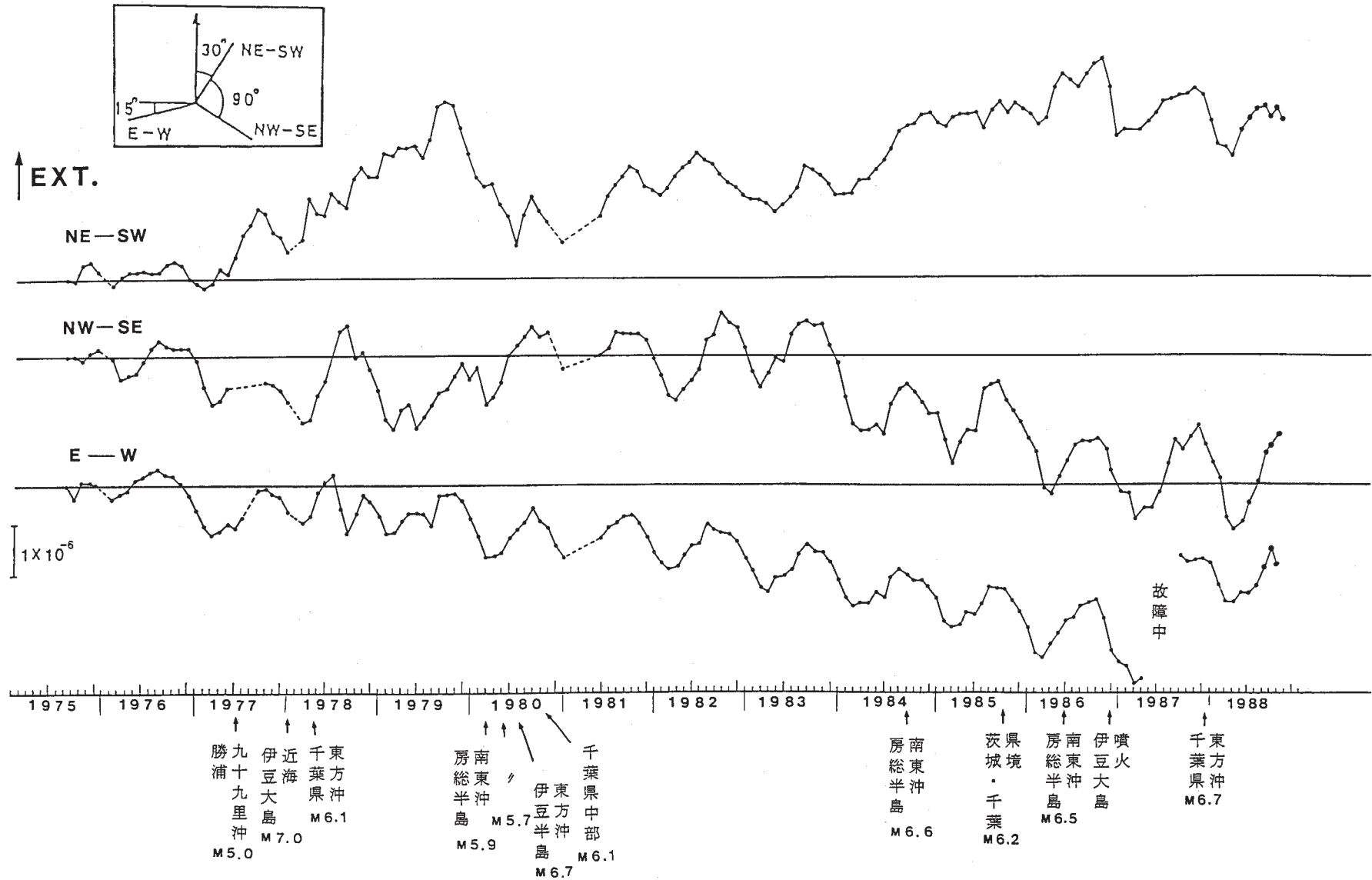
Fig. 3 Results of precise distance measurements in the Hino radial baselines.

| 測定年月 区 間 | 1973 | 74 | 75 | 75 | 80 | 81 | 81 | 82 | 82 | 83 | 83 | 84 | 84 | 85 | 85 | 86 | 86 | 87 | 87 | 88 | 88 |
|-------------|-----------------------|------------------|------------------|------------------|------------------|------------------|------------------|------------------|------------------|------------------|------------------|------------------|------------------|------------------|------------------|------------------|------------------|------------------|------------------|------------------|------------------|
| | . 3 | . 3 | . 1 | . 7 | . 12 | . 1 | . 8 | . 2 | . 7 | . 2 | . 8 | . 2 | . 8 | . 2 | . 9 | . 2 | . 9 | . 3 | . 9 | . 4 | . 7 |
| 鹿野山 — 大坪山 | 8194. ^m 88 | ^m .86 | ^m .86 | ^m .88 | ^m .88 | ^m .87 | ^m .87 | ^m .91 | ^m .87 | ^m .88 | ^m .87 | ^m .88 | ^m .87 | ^m .89 | ^m .89 | ^m .88 | ^m .89 | ^m .89 | ^m .86 | ^m .88 | ^m .89 |
| 鹿野山 — 人見 | 12152.59 | .59 | .57 | .58 | .58 | .59 | .59 | .58 | .55 | .57 | .57 | .57 | .56 | .59 | .58 | .58 | .57 | .58 | .56 | .56 | .57 |
| 鹿野山 — 小糸 | 7032.70 | .68 | .67 | .69 | .67 | .67 | .68 | .68 | .66 | .68 | .68 | .68 | .67 | .68 | .69 | .66 | .68 | .67 | .67 | .68 | .69 |



第4図 鹿野山精密変歪測量結果

Fig. 4 Results of precise distance measurements in the Kanouzan radial baselines.



第6図 館山地殻活動観測場における歪変化 (月平均値)

Fig. 6 Temporal variation in crustal strains observed at Tateyama (monthly means).